

05; 12

© 1991

## ИССЛЕДОВАНИЕ РАСТВОРИМОСТИ И ДИФУЗИИ В СИСТЕМАХ $\text{SiC}-\text{NbC}$ , $\text{SiC}-\text{TiC}$ , $\text{SiC}-\text{ZrC}$

Г.К. С а ф а р а л и е в, Ю.М. Т а и р о в,  
В.Ф. Ц в е т к о в, Ш.Ш. Ш а б а н о в

1. Повышенный интерес к исследованию диффузионных процессов в системах  $\text{SiC}-\text{NbC}$ ,  $\text{SiC}-\text{TiC}$  и  $\text{SiC}-\text{ZrC}$  вызван стремлением выяснить те физические закономерности, которые необходимы при создании новых материалов. А именно, изучение диффузионных процессов в этих системах позволило бы определить условия образования твердых растворов, а также получение на их основе высокопрочной конструкционной керамики. Немаловажным является и тот факт, что, за исключением [1], в литературе отсутствуют данные по исследованию диффузионных процессов в системах  $\text{SiC}-\text{NbC}$ ,  $\text{SiC}-\text{TiC}$  и  $\text{SiC}-\text{ZrC}$ .

2. Проведено исследование, наглядно демонстрирующее непосредственное твердофазное взаимодействие между монокристаллами  $\text{SiC}$  политипа 6Н и  $\text{NbC}$ ,  $\text{TiC}$ ,  $\text{ZrC}$ . Сложенные „сэндвичем“ монокристаллы подвергались процессу горячего прессования в засыпке порошка  $\text{SiC}$  дисперсностью  $5 \cdot 10^{-6}$  м. Температура горячего прессования составляла 2270–2570 К, давление прессования изменялось в диапазоне 20–40 МПа. Размеры монокристаллов  $\text{SiC}$  с одной стороны и  $\text{NbC}$ ,  $\text{TiC}$  и  $\text{ZrC}$ , с другой стороны составляли  $(5\text{--}6) \cdot 10^{-3}$  м по диаметру и до  $10^{-3}$  м по толщине.

3. Элементный состав и профиль распределения в тонком слое вблизи границы  $\text{SiC}-\text{NbC}$ ,  $\text{SiC}-\text{TiC}$  и  $\text{SiC}-\text{ZrC}$  исследовали методом электронной Оже-спектроскопии (ЭОС) на Оже-микроанализаторе „JAMP“. Данные по Оже-спектроскопии свидетельствуют о размытости границы раздела между монокристаллами  $\text{SiC}$  и  $\text{NbC}$ ,  $\text{SiC}$  и  $\text{TiC}$ ,  $\text{SiC}$  и  $\text{ZrC}$ , что указывает на интенсивный диффузионный процесс.

Анализ концентрационных профилей показал, что они весьма сходны и сосредоточены вблизи границы раздела, причем непрерывное возрастание парциальных атомных концентраций  $C_{\text{Nb}}$ ,  $C_{\text{Ti}}$ ,  $C_{\text{Zr}}$  в кристаллах  $\text{SiC}$  приводит одновременно к уменьшению  $C_{\text{Si}}$ . Установлено, что растворимость  $\text{Nb}$  в  $\text{SiC}$  выше, чем  $\text{Si}$  в  $\text{NbC}$ , а ход зависимости парциальной атомной концентрации  $C_{\text{Si}}$  от  $X$  в системе  $\text{SiC}-\text{TiC}$  отличается от аналогичных зависимостей для  $C_{\text{Si}}$  в системах  $\text{SiC}-\text{NbC}$ ,  $\text{SiC}-\text{ZrC}$ . Детальный анализ границы раздела показал отсутствие включений второй фазы в химических соединениях, имеющих место в системах

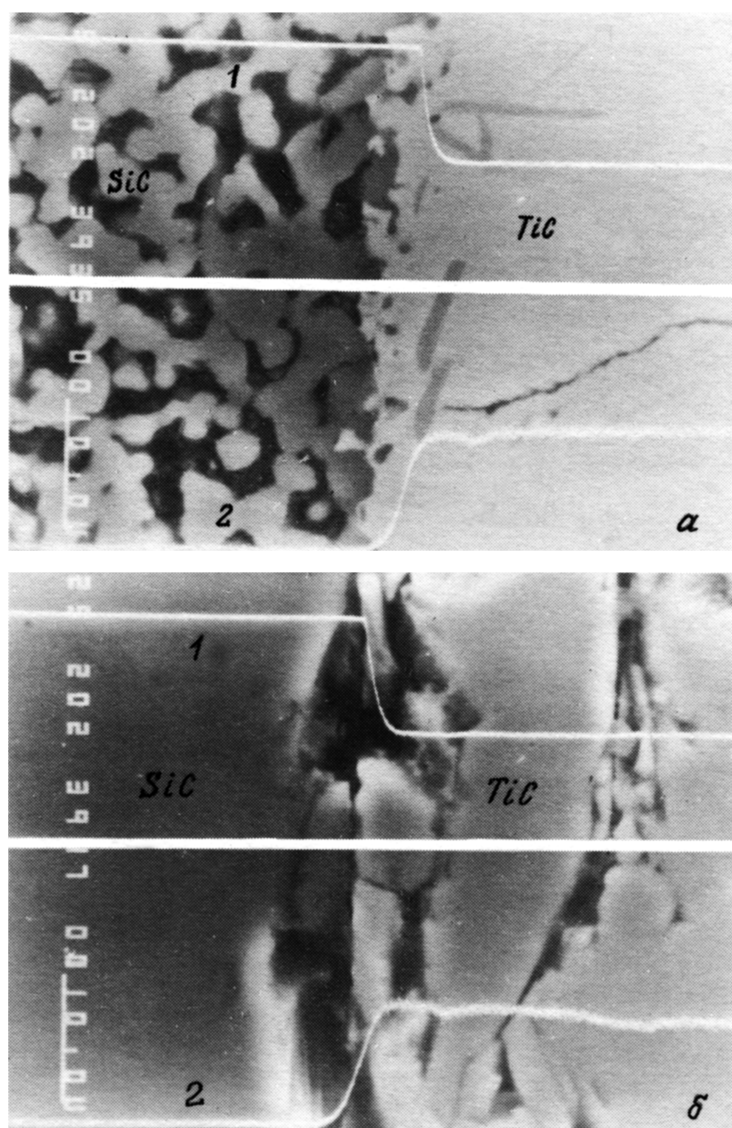


Рис. 1. Концентрационные профили  $Ti$  и  $Si$  в приконтактной области в системе  $SiC - TiC$  при  $T=2370$  К. а -  $SiC$  - поликристалл -  $TiC$  - монокристалл, б -  $SiC$  - монокристалл -  $TiC$  монокристалл; 1 - распределение парциальной атомной концентрации  $C_{Si}$  по толщине, 2 - распределение парциальной атомной концентрации  $C_{Ti}$  по толщине.

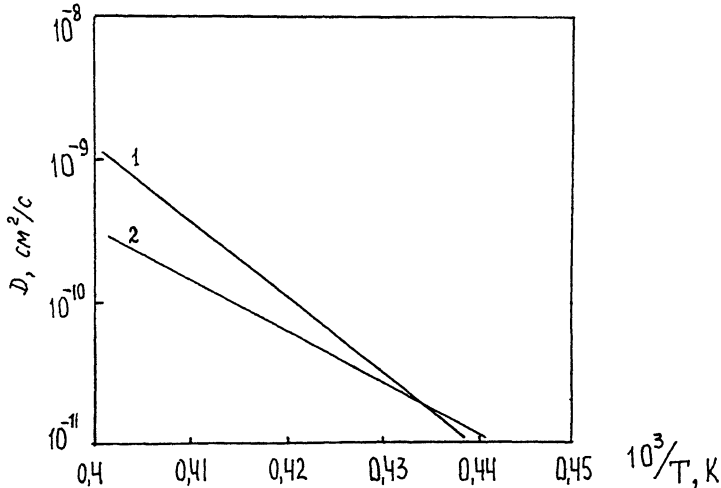


Рис. 2. Температурная зависимость коэффициентов диффузии. 1 - в монокристаллическом  $\text{SiC}$  ( $D_{Nb}-\text{SiC}$ ), 2 - в монокристаллическом  $\text{NbC}$  ( $D_{Si}-\text{NbC}$ ).

$\text{SiC}-\text{NbC}$ ,  $\text{SiC}-\text{TiC}$  и  $\text{SiC}-\text{ZrC}$ . На рис. 1, а, б дано изображение концентрационных профилей  $C_{Ti}$  и  $C_{Si}$  в системах монокристалл  $\text{TiC}$  - поликристалл  $\text{SiC}$  и монокристалл  $\text{TiC}$  - монокристалл  $\text{SiC}$ . Видно, что для обоих случаев ход зависимости парциальных атомных концентраций  $C_{Ti}$  и  $C_{Si}$  от  $X$  аналогичны, причем кремний сохраняет свою концентрацию вплоть до границы раздела. По концентрационным профилям  $Nb$ ,  $Ti$  и  $Zr$  в монокристалле  $\text{SiC}$  и  $Si$  в монокристаллах  $\text{NbC}$ ,  $\text{TiC}$  и  $\text{ZrC}$  был проведен расчет диффузионных параметров. Анализ твердофазной диффузии проводился на основе модели диффузии из неограниченного источника [2]. Значения коэффициентов диффузии компонентов в этих системах при температуре  $T=2370$  К приведены в таблице. Были также определены

#### Т а б л и ц а

Значения коэффициентов диффузии компонентов в системах  $\text{SiC}-\text{NbC}$ ,  $\text{SiC}-\text{TiC}$ ,  $\text{SiC}-\text{ZrC}$

$D_{Nb-\text{SiC}} = 2.3 \cdot 10^{-11} \text{ см}^2/\text{s}$	$D_{Si-\text{NbC}} = 0.15 \cdot 10^{-11} \text{ см}^2/\text{s}$
$D_{Zr-\text{SiC}} = 2.2 \cdot 10^{-11} \text{ см}^2/\text{s}$	$D_{Si-\text{ZrC}} = 0.7 \cdot 10^{-11} \text{ см}^2/\text{s}$
$D_{Ti-\text{SiC}} = 6.3 \cdot 10^{-11} \text{ см}^2/\text{s}$	$D_{Si-\text{TiC}} = 0.34 \cdot 10^{-11} \text{ см}^2/\text{s}$

температурные зависимости коэффициентов диффузии в этих системах в интервале температур 2270–2500 К. На рис. 2 приведена зависимость  $D \sim f(\frac{1}{T})$  для системы  $\text{SiC} - \text{NbC}$ . Видно, что значение коэффициента диффузии  $\text{Nb}$  в  $\text{SiC}$  ( $D_{\text{Nb-SiC}}$ ) с ростом температуры возрастает быстрее, чем  $D_{\text{Si-NbC}}$ . По температурной зависимости коэффициентов диффузии  $D_{\text{Nb-SiC}}$  и  $D_{\text{Si-NbC}}$  были определены значения кажущейся энергии активации процессов, диффузии в системе  $\text{SiC} - \text{NbC}$ , которые составляли  $Q_{\text{Nb-SiC}} = 8.16$  эВ,  $Q_{\text{Si-NbC}} = 6.96$  эВ.

Полученные результаты позволяют сделать вывод о возможности образования твердых растворов в исследованных системах.

#### Список литературы

- [1] Brewer L., Krikorian O. // J. Electrochem. Soc. 1956. V. 103. P. 38–43.
- [2] Пичугин И.Г., Тайров Ю.М. Технология полупроводниковых приборов. М.: Высшая школа, 1984. 288 с.

Дагестанский  
государственный  
университет

Поступило в Редакцию  
1 ноября 1991 г.